

### 3차원 절삭에 관한 연구 (초경 DRILL의 효율성 증가)

(A Study of Three Dimension  
Cutting:Tipped Twist Drilling)

이영철

광운대학교 제어계측공학과

#### Abstract

Carbide-tipped twist drill of new type which is better than traditional H.S.S. twist drill has been developed successfully to drill steel work-pieces with high speed. This new carbide drill consists of a characteristic feature of special shape of cutting edge, chip pocket, and flute. The special design of the chip pocket and the flute guarantees both periodic fracture and smooth transport of chips along the flute. The carbide-tipped twist drill also allows one to apply more drilling force than conventional one and produce holes with high accuracy.

#### 1. 서론

현대에 이르러 생활이 편리해 점에 따라 모든 것을 쉽고 간단하게 하기위해서 연구와 노력을 기울였다. 여기에 한부분을 차지한게 바로 기계분야이다. 切削加工의 精密度 향상과 생산능률을 증대시키는데 가장 적절적인 요인되는 切削力 및 기타 요인들에 대하여 현재 많은 연구가 진행되고 있다. 3차원 切削에서의 Drill은 빠르고 용이하게 구멍을 뚫도록 설계된 공구이다. 매우 정확한 Drill 도구이나 최후의 목적은 다듬기공이나 구멍의 정확성 보다도 오히려 고도의 관통율로써 사용할때 긴수명을 유지 할수있다. 구멍뚫기 가공은 切削가공 중에서 가장 광범위하게 해하여주는 작업 중의 하나이다. 현재 대부분의 구멍뚫기 작업은 高速度鋼 drill에 의하여 행하여지고 있으나 다른가공에 비하여 속도도 느리고 시간단축도 다른가공에 비하여 상당히 늦어 시간단축에서의 문제점도 많이 지적되었다. 특히 강재는 구멍을 뚫을 때 Chisel부의 날이 파괴되거나 쉬워서 성공할수 없었다.

여기서 본研究는 실제작업에 있어서 각종 시편에 대한 기본적인 切削실험과 切削저항 및 切削면적과 切削저항의 관계를 비교하였다.

또 새로운 날꼴 형태를 갖는 超硬 Drill이 파괴하는 일없이 높은효율의 切削性을 목적으로 해서 실행하였다.

#### 2. 기초사항

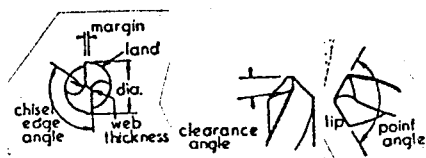
##### 2-1. drill의 기호 명칭(drill nomenclature)

drill의 기호는 다음과 같다.

1. (δ): 헬리스각도(helix angle)
  2. (2p): drill 선단각도(drill angle)
  3. (w): web 두께(web thickness)
  4. (θ): 여유각(clearance angle)
  5. (D): drill의 직경(drill diameter)
- δ는 cutting edge 위의 특수점에 대한 radius(r)과 더

불어 변한다. 따로 지적하지 않는 한, 헬리스각도라 함은 drill의 원주상의 헬리스 각도를 말한다. helix의 pitch의 길이(L)는 切削선단에 따른 모든 점에 대하여 일정하며 따라서 어떤 점에 있어서의 δ는 다음식을 사용하여 결정 할수 있다.

$$\delta = \tan^{-1}\left(\frac{2\pi r}{L}\right) \quad \varepsilon = \tan^{-1}\left(\frac{2t}{2\pi r}\right)$$



드릴의 각부 명칭

#### 2-2. drill의 해석

drill point의 해석은 切削인선을 횡단하는 반경방향의 위치와 더불어 드릴의 힘의 변화므로 다른 공구보다 조금 더 복잡하다. Fig13-50에는 2개의 드릴이 표시되어 있다. (a)의 그림은 드릴축에 따라 shank에서부터 선단(point) 방향으로 본것을 표시한다. 평면(COBDF)은 切削인선위의 C점에서의 velocity vector(V)에 수직으로 되어있다. A점은 切削인선 위에 접근 된 점이며 AB는 V에 평행된다. (b)의 그림은 C점에서 속도 벡터의 방향으로 본것을 표시한다. 切削인선위의 적은 길이 AC는 Fig13-18에서 선반공구에 대한 반대 부분이된다. Fig13-50(b)에 있어 ∠ACO는 드릴(선단)각(p)의 1/2과 같으며 한편 Fig13-50(c)에서 ∠ACB는 (a)의 그림에서 지면에 있으므로 inclination angle과 같고 다음과 같은식으로 표시된다.

$$i = \angle ACB = \sin^{-1}\left(\frac{w}{2r/\sin p}\right) \quad (1)$$

(c)에서 표시된 AFB는 δ와 같으며 또한 동시에 이것은 선반용 바이트의 back rake angle에 해당된다. 그

$$러므로 a_b = \delta = \tan^{-1}\left(\frac{2\pi r}{L}\right) \quad (2)$$

선반용 바이트에 대한 side cutting edge angle(Cs)에 해당하는 각도는 Fig13-50(c)을 참고로 하여 다음과 같이 구할수 있다.

$$\frac{OC}{AC} = \cos P$$

$$\frac{OC}{BC} = \cos Cs$$

$$\frac{BC}{AC} = \cos i$$

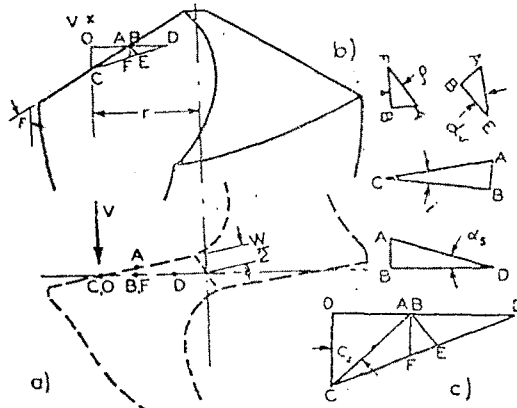


Fig 13-50. 드릴의 선단(先端)에 대한 해석

- (a) shank에서 point에 대한 측에 따라 본 드릴의 그림
- (b) 속도 벡터(velocity vector)에 따라 쟁기 드릴의 그림

$$\text{따라서 } \cos Cs = \frac{OC}{BC} = \frac{\frac{OC}{AC}}{\frac{BC}{AC}} = \frac{\cos P}{\cos i} \quad (6)$$

즉면경사각 ( $\alpha_s$ )에 해당하는 값을 다음과 같이 구할 수 있다. 삼각형 OCD 와 BFD의 상사형 으로부터

$$\frac{OC}{BF} = \frac{OD}{BD} = \frac{OB+BD}{BD} = 1 + \frac{OB}{BD} \quad (a)$$

$$OC = BC \cos Cs = \frac{AB}{\tan i} \cos Cs$$

$$OB = BC \sin Cs = \frac{AB}{\tan i} \sin Cs$$

$$BF = \frac{AB}{\tan \delta}$$

a)식에 대입하여

$$\frac{\frac{AB}{\tan i} \cos Cs}{\frac{AB}{\tan \delta}} = 1 + \frac{\frac{AB}{\tan i} \sin Cs}{BD} \quad (3)$$

$$\text{혹은 } \frac{AB}{BD} = \tan \alpha_s = \frac{\tan \delta}{\tan Cs} - \frac{\tan i}{\sin Cs} \quad (4)$$

(1)(2)(3)(4)식을 사용하여 lathe tool angle( $\alpha_s$ )에 해당되는 구배각( $i$ ) 및  $Cs, ds, \alpha_s$  등을 구할 수 있다.

### 2-2-1. web, drill point angle, helix angle 의 변화가 drill에 미치는 영향

(a) web에 대하여

web의 두께  $W$ 의 증가는 drill의 periphery에 별 영향을 주지 않는다. web 두께  $W$ 의 증가로 생기는 중요한 영향은 드릴선단 근처의 cutting edge의 강도를 크게하고 또한 rake angle을 다소 증가케 한다. 강한 재질에 구멍을 뚫을 때에 drill의 선단에서 파손이 가정 많이 생기게 됨으로 이것을 방지하기 위하여 큰 web의 두께의 값이 필요하다. 중심부가 파손되는 경향은 어떤 drill에 대하여서도  $W$ 를 증가 시켜야 된다는 결과를 가져오게 된다.

(b) drill point angle에 대하여

drill point angle의 증가는 drill의 중심부보다 원주근방에서 영향이 더욱적다. 만약  $P$ 가 증가하면, normal rake angle이 그만큼 증가하는 동시에 effective rake angle도 drill 중심부 근방에서 증가한다. 이것은 cutting action에 대하여 거의 지지를 받지않음으로써 drill의 선단에서 cutting을 자유롭게한다. drill의 주변부에 적은 변화는 약간 강한 힘을 유발하는 이외에 강한 절인edge부에도 어느 정도 영향

을 준다. 적은 선단각은 일률미끄는 합금과 같이 비교적 약한 속도를 drilling에 적용된다. 이때에는 cutting edge를 유지하는 힘은 cutting force의 감소로 말미암아 회생될 수 있기 때문이다. 일반적으로 drill은 연한 속도를 가공할 때 원주에서 파손이 생기는 경향이 있고 drill의 중심에서 생기는 파손은 강한 속도를 가공할 때 일어난다.

(c) helix angle에 대하여

먼저 설명한 2 개의 값과는 달리  $\delta$ 은 drill의 원주상에 큰 영향을 준다.  $\delta$ 의 증가는 drill의 주변에서  $\sin \delta$ 와  $\delta e$ 의 2 값을 크게 증가시키는 동시에 중심부에서도 양자를 약간 증가시킨다. 그리하여  $\delta$ 의 증가는 특히 drill의 원주에서 만은 cutting 인선을 횡단하는 모든 면을 지지하지 않아 cutting을 자유롭게 하는 결과를 초래한다. 적은 선단각과 같은 web를 가진 큰  $\delta$ 은 약한 재질에 사용되며 고온 합금 및 스테인레스 강철 같은 강한 재질에는 반대로 적은 helix angle이 사용된다.

### drill의 切削力

drill 가공 역학의 관점에서 볼 때, 드릴링하는 힘은 2개의 중요한 양, 회전력, 즉 torque( $M$ )와 thrust( $F_a$ )로 구별된다. drill의 torque는 단위 세척당의  $u$ 의 항으로서 아래와 같이 표시할 수 있다.

$$M = \frac{tuD}{4}$$

여기에서  $tu$ 는 feed rate이며, 모든 양은 in-lb-sec의 단위로서 표시되어 있다. drill을 회전시키는데 필요한马力은

$HP=2NM/396,000=3.96*10 uNtD$   
단N는 drill의 매분회전수(r.p.m.)이다.

### 3. 실험장치 및 방법

#### 3-1. 실험재료

1) DRILLING MACHINE--高速度鋼 DRILL, MARGINE

DRILL

2) MOBILMET 25

3) 피삭재 -- SB41, SM45C

4) 切削 금정지 장치

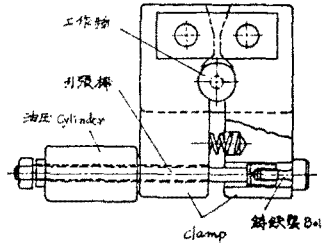


그림 2. 切削 急停止 装置

#### 3-2. 실험방법

超硬Drill을 사용하여 구멍을 뚫을 때 특히 cutting chip의 생성, 절단 및 배출의 사항을 설명하기 위해서는 그림1에서 보는 바와 같이 금정지 장치에 의해 실험이 되었다.

사용된 재료로는 SM41, SM45재를 직경 40mm, 높이 40mm이며 공작물이 Clamp 사이에 단단히 보되어 있다. 보존력은 引張螺栓과 청동제 Bolt를 油壓 Cylinder로 잡아당기는 것에 의하여 생긴다. 구멍뚫기가 개시되고 구멍깊이가 약 20mm되었을 때 油壓 Cylinder의 압력을 급격히 상승시켜 청동제 Bolt를 인장파단 시킨다. 이 순간 공작물이 분리되어 Drill과 함께 돌기 시작한다. 이때에主軸回轉數는 1000rpm, 이송 0.4mm/rev, 회전 각 2,3이며, 가속시간이 짧고 구멍뚫기가 급정지된다. 또 한구멍 밀을 관찰해보면 drill 중심부근에서도 정상적인 切削이 행하여지고 있는 것을 알 수 있다. 또 고속일 때 빠른 이송일 때 drill 외조축구멍 밀 및 구멍 밑부의 구멍벽면에는 광택이 있어서 그곳에는 횡성 인선에 의한 切削이 일어나고 있지 않다고 관찰되었다. 그러나 중심축의 다듬질면에는 광택이 없이 횡성 인선에 의한 긁워한 틸락면을 부착하였다 구멍뚫기

실험에 사용된 DRILLING MACHINE 의 주축은 15HP 의  
유압원에 이어진 가속유압 모터에 의해 기동되며 최  
고 회전수는 2500rpm 이었다.

切入力 측정실험은 pipe부에 gage를 블이고 피식제  
는 직경 55mm, 봉길이 50mm, 로 절단해서 사용하였다.  
超硬drill 의 negative 폭은 SB41재 일때에는 이송  
0.4mm/rev, SM45C재 일때에는 0.2mm/rev이며 어느실험  
에서도 mobilmet25 를 약 1/min으로 공급했다.  
Fig3은 切削力의 측정결과의 일부를 나타낸 것이다.  
그림에서 각plot들은 각각의 가공조건으로 6회의실험  
을 되풀이해서 그평균치를보였다. 그림에서 나타난바  
와 같이切削力 과 이송양간의 직선관계가 성립되고  
超硬Drill 의 切削力이 高速度鋼Drill 일때보다 상당  
히 크다. 또한 SM45C 일때의 결과가 나타나지않으나  
SM41일때와 거의같다. 또한 단margin형과 복margin  
형 사이에서 切削力 차이가 알기어려웠다.

특히 切削Torque 의 결과에서 양type의 margin에 있  
어서 Punish Torque 큰차이가 없었다. 超硬drill 쪽  
이 切削력이 본원인으로서는 비틀림각이 적고, 切削  
Chip 을 cut하고 단 배출될때에 흠 및 구멍벽에서 강  
한 구속을 받아서 단의 energy를 필요로 했다는것을  
생각할수있다. 超硬Drill 일때에는 切削Chip이 막히  
는 것이없고 Smooth 하게 배출되므로 切削력은  
Drill의 깊이와 무관하게 일정하다. 또Drill이 가공  
증률을 때거나 진입할때 切削력이 급격히 증가한다는  
것은 증명될수없다. 切削力측정실험으로 얻어진 구멍  
의 측정한결과를 Fig4에 나타난다. 广大代는 구멍의  
깊이를 10, 20, 40mm 3가지로 측정하였다.

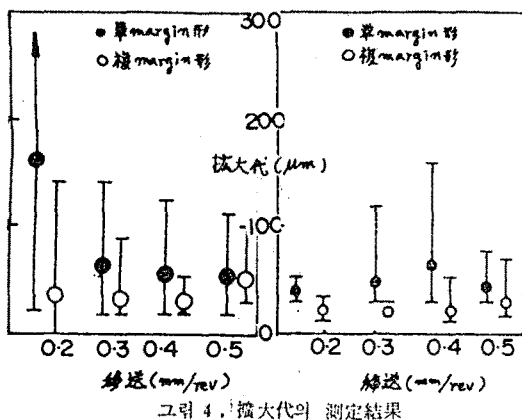


그림 4. 擴大代의 测定結果

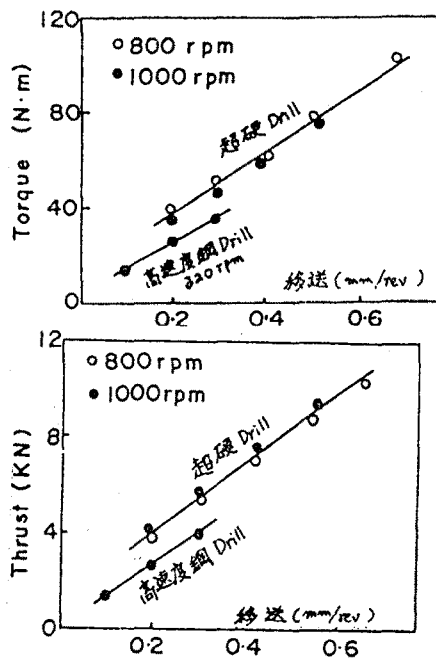
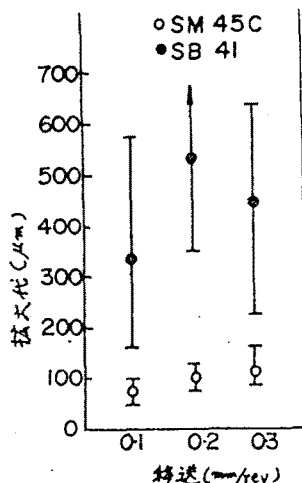


그림 3. 切削 Torque, Thrust의 测定結果

#### 4. 결과 및 고찰

fig4에서와같이 超硬drill 일때에 广大代는 高速  
度鋼drill에 비해 상당히 적고 그평균치의 대부분은  
20-60 μm의 범위에 있다. 또한 단margin형 超硬drill  
일때보다도 복margin형 超硬drill쪽이 广大代가 명  
확히 적어지고있다. 高速度鋼drill로被削材의 종  
류에 의한차이는 대단히크지만 超硬drill일때보다  
는 큰차이는 없다. 高速度鋼에비해 超硬drill일때가  
精密度가 양호하기 위해서는 drill의 강성이높  
고, drill중심부근에서도 절연에의해 切削이 진행되  
어 chisel부의 경사각이 생기지 않으므로 거기서 발생하는 힘이 비교적안정되고, drill의 본체및 절연  
의 제작精密度가 높고, 절연에있어切削상태가 안정  
될것, 때문에 drill의 진동 및 步行現象이 일어나기어  
렵고, drill외벽의 절연에 있어발생하는 칭성인선이  
안정하고있어 그것에의한 과切削이 구멍벽측에 생  
기 않는다.

#### 5. 결론

- 이상의 超硬drill의 구멍뚫기 실험과 참고문헌에서  
다음과같은 결론을 얻었다.
- 1)超硬drill로서는 흠이나 구멍을 뚫을시 종래의  
문제시된 절연의 chipping이 방지되고 절연chip 이  
주기적으로 되어 저장없이 배출된다.
  - 2)高速度鋼drill 보다 超硬drill의 가공구멍의 精密  
度가 더정밀하다.
  - 3)切削Torque, Thrust는 일반적으로 高速度鋼drill  
보다 超硬drill이 상당이크다.

#### 참고문헌

- 1.초정절삭 단인공구사이 질삭력에 미치는 영향에  
관한 연구 (1978) 단국대학원 김석두
- 2.H.Negishi, K. Aoki & T. Sata., study on Tool  
Failure of Carbide Tools in interrupted Turning  
Ann. CIRP 29, 1, (1987).
- 3.공작기계의 절삭이론 (1962) 필론 C. 쇼오
- 4.中山一雄, 小川城 : “切りくす かう見 すなたね  
しれ トニの切削性能” 精密機械, 43卷 4號, P  
427(1977)
- 5.結城明泰, 長谷川嘉雄, “きりもみおける半徑力.”  
精密機械 43卷 12號 P 1440(1977)